РАСЧЕТ ВЛИЯНИЯ СВОБОДНОЙ ПОВЕРХНОСТИ НА НАЧАЛЬНУЮ ОСТОЙЧИВОСТЬ СУДНА

Гегешидзе Э.И., Палавандишвили Г.А.

Грузинский технический университет

РЕЗЮМЕ

В работе рассмотрены некоторые конкретные вопросы, связанные с расчетом влияния свободной поверхности на начальную остойчивость судна, рассчитанную по составляющей изгибающего момента на мидели от сил дедвейта как арифметической полусуммы в моменты загрузки носовых и кормовых грузов относительно миделя.

Ключевые слова: свободная поверхность, метацентрическая высота, форпик, ахтерпик, перегиб, динамическая устойчивость, дедвейт.

Поправка к метацентрической высоте на влияние свободной поверхности определяется по формуле:

$$\Delta h = \frac{\sum \Delta m_h}{D_1} \,,$$

 $\sum \Delta m_h$ — суммарная поправка к статическому моменту массы судна от влияния свободной поверхности.

Для отдельных цистерн Δm_h определяется по формуле:

$$\Delta m_h = \rho_{xc} \cdot iy$$
, $\Delta m_{y} = \rho_{xc} \cdot iy$,

 $ho_{\mathscr{H}}$ – плотность жидкости;

 i_x — центральный момент инерции свободной поверхности;

определяется по формулам:

для прямоугольных цистерн:

$$i_x = \frac{lb^3}{12},$$

для поверхностей, имеющих форму треугольника (форпик, ахтерпик):

$$i_y = \frac{bl^3}{36},$$

для поверхностей, имеющих форму трапеции:

$$i_{y} = \frac{b_{1}^{2} + 4b_{1}b_{2} + b_{2}^{2}}{36(b_{1} + b_{2})}l^{3},$$

l — длина отсека

b – ширина отсека

 b_1 и b_2 – ширина носовой и кормовой части цистерны

l и b – снимаются с чертежа.

В соответствии с требованиями Правил Регистра ССС включается только цистерны, для которых: $\Delta m_{\scriptscriptstyle h} > 0.01 D_{\scriptscriptstyle \rm min}$.

Расчеты производятся в следующей последовательности.

 Составляется расчетная комбинация из цистерн каждого вида жидкого груза. Для этого составляется таблица, в которую заносятся цистерны по каждому виду груза или топлива с указанием их характеристик – таблица 1.

Таблица 1

Поправки на влияние свободной поверхности

NºNº	Наименование цистерны	Длина <i>l</i>	Ширина <i>b</i>	Момент инерции i_x	Δm_h
				\sum_{ix}	$\sum \Delta m_i$

Определяется поправка к поперечной метацентрической высоте:

$$\Delta h = -\frac{\sum \Delta m_h}{D_1} \, .$$

Определяется исправленное значение метацентрической высоты:

$$h_1 = h + \Delta h$$

Для свободной поверхности топливных цистерн можно не учитывать.

В судовых условиях контроль прочности корпуса осуществляется расчетным методом и при помощи приборов.

Проверка общей продольной прочности аналитическим методом производится в следующей последовательности:

рассчитывается составляющая изгибающего момента от веса судна порожнем:

$$M_0 = K_0 DL$$
,

 K_0 — коэффициент, равный $0{,}100$ — для грузовых судов с силовой установкой в средней части;

 $K_0 - 0,126$ – для грузовых судов с силовой установкой в корме;

 $K_0 - 0,0975$ для грузо-пассажирских судов с силовой установкой в средней части.

– расчитывается составляющая изгибающего момента на мидели от сил дедвейта как арифметическая полусумма моментов носовых и кормовых грузов относительно миделя: Для этого составляется таблица – таблица 2.

Расчет изгибающего момента от сил делвейта и груза

Таблица 2

Tac ici usi nodiomero momenta of cusi dedbenta u i pysa								
N_0N_0	Наименование помещения	Масса груза	Плечо до миделя	Момент М				
	Сумма	$M_g = \frac{1}{2} \sum M_x $						

Следует обратить внимание, что если плоскость модель-шпангоута делит помещение на носовую и кормовую части, то моменты носовых и кормовых грузов в этом помещении пересчитываются раздельно. Ориентировочно можно считать:

$$p_{in} = p_i \cdot \frac{l_n}{l}, \quad x_n = \frac{1}{2}l_n$$

$$p_{i\kappa} = p_i \cdot \frac{l_{\kappa}}{l}, \quad P_{\kappa} = \frac{1}{2}l_{\kappa},$$

 p_{i} , $p_{i\kappa}$, $p_{i\kappa}$ – соответственно, вес груза во всем помещении, в носовой и кормовой части;

 $l, l_{_{\rm H}}, l_{_{\rm K}}$ — соответственно длина всего помещения, носовой и кормовой части.

Расчитывается составляющая изгибающего момента на модели от сил поддержания:

$$M_{cn} = -K_{cn}D \cdot L$$
,

 $K_{\it cn}$ — численный коэффициент, равный: $K_{\it cn} = 0{,}0895\delta + 0{,}0315$.

Определяется величина изгибающего момента на тихой воде в миделевом сечении:

$$M_{u32} = M_0 + M_{\partial} + M_{cn}$$
.

Если момент получится положительным, то судно испытывает перегиб, а если отрицательный – прогиб на тихой воде.

- Расчитывается нормативная величина изгибающего момента на тихой воде по формуле:

$$M_{\partial on} = K_0 W_0$$
,

 W_0 — базисный минимальный момент сопротивления (в см 3) поперечного сечения корпуса,

$$W_0 = C_n \cdot B \cdot L^2(\delta + 0.7)\Phi$$
,

 C_n — коэффициент,

$$C_n = 0.75 - \left(\frac{300 - L}{100}\right)^{3/2}$$

 δ – коэффициент общей полноты, снимается с КЭТЧ.

Ф – численный коэффициент, определяемый по методике Регистра, для практических расчетов можно принимать $\Phi = 1$;

 K_0 — численный коэффициент, принимаемый:

а) для судов группы 1 (обычно сухогрузные суда для перевозки началочных грузов при 0,85 м³/т, пассажирские суда, научно-исследовательские, паромы, суда накатного типа, промысловые суда)

0,0736 [0,0075]	при перегибе	(Мизг. > 0)
0,0785 [0,0080]	при прогибе	(Мизг. < 0)
для судов 2 и 3 группы		

б) д

0,0667 при перегибе [0,0068] 0.0716 при прогибе [0,0073]

Значения коэффициента K_0 в квадратных скобках подставляется, если изгибающий момент определяется в тс. м, а без скобок, если $M_{\text{изг}}$. в кн.м.

Величина изгибающего момента, действующего в миделевом сечении сопоставляется с нормативными значениями:

$$M_{\mathit{don.nporuba}} \leq M_{\mathit{usr}} \leq M_{\mathit{don.neperub.}}$$

Если изгибающий момент на тихой воде находится в пределах, допустимых значений, то общая продольная прочность считается обеспеченной.

Если $M_{\text{изг.}}$ выходит за пределы допустимых значений, то общая прочность считается необеспеченной и необходимо принять меры для уменьшения абсолютной величины изгибающего момента.

Абсолютную величину изгибающего момента при перегибе можно уменьшить перемещением грузов от миделя к оконечностям.

После перемещения грузов необходимо заново выполнить расчеты по контролю прочности.

Диаграмма статической остойчивости рассчитывается по формуле:

$$l = l_{\Phi} - l_{b}$$
; $l = l_{\Phi} - (z_{g_{1}} - z_{x_{1}}) \sin \theta = l_{\Phi} - a \sin \theta$,

или

$$l = l_{\Phi} = z_{g_1} \sin \theta$$

 l_{Φ} – плечо остойчивости формы.

Плечо остойчивости формы снимаются с интерполяционных кривых плеч остойчивости формы (пантокарен) по значению объемного водлизмещения:

$$V = \frac{D_1}{\rho},$$

 l_{b} — плечо остойчивости веса.

Диаграмма динамической остойчивости рассчитывается по формуле:

$$C_d = \int_0^\theta ld\theta.$$

Интеграл решается приближенным методом – методом трапеций.

Расчеты плеч статической и динамической остойчивости удобно выполнять в табличной форме – табл. 3.

Таблица 3

Расчет плеч статической и динамической остойчивости

N_0N_0	Расчетные величины		Значения расчетных величин				
1.	θ	0	10	20	30	40	50
2.	$\sin \theta$	0					
3.	$a\sin\theta$	0					
4.	$l_{\Phi} = f(V)$ с пантокарен	0					
5.	$l = l_{\Phi} - a\sin\theta \ (4)-(3)$	0	—		A	→	
6.	$\sum l_{ ext{uht.}}$	0					
7.	$ld = \frac{\Delta\theta}{2} \sum l$	0				<u> </u>	•

$$\Delta\theta = 10^{\circ}, \quad \Delta\theta_p = \frac{10^{\circ}}{5703} = 0,174.$$

- По рассчитанным значениям l и ld строятся диаграммы статической и динамической остойчивости.

Критерий погоды К определяется по формуле:

$$K = \frac{M_{onp}}{M_{\kappa p}} \,,$$

 $M_{\text{onp.}}$ – опрокидывающий момент минимальный, определяемый с учетом бортовой качки;

 $M_{\text{кр.}}$ – динамически приложенный кренящий момент от действия ветра.

Расчеты критерия погоды производятся в следующей последовательности:

1. Определяется величина кренящего момента от действия ветра:

$$M_{\kappa p} = 0.001 P_{\nu} \cdot S_{n_1} \cdot Z_{n_1}$$

 P_{v} – удельное давление ветра выбирается из табл. 2.1, 2.2 части IV Правил;

 S_{n_1} — площадь парусности судна при выходе в рейс:

$$S_{n_1} = S_n - \Delta T_1 L \; ; \; \; \Delta T_1 = T_{cp} - T_{cp} \; , \label{eq:Sn1}$$

 $T_{\rm rp}$ – осадка по летнюю грузовую марку;

 $Z_{n_{\rm l}}$ – плечо парусности (возвышение Ц.П.) над действующей ватер-линией при ${\rm T_{cp.}}$

$$Z_{n_1} = \frac{S_{n_1}(Z_n - \Delta T_1) + 0.05(\Delta T_1)^2 L}{S_{n_1}}.$$

- 2) Рассчитывается расчетная амплитуда бортовой качки θ_2 по методике Регистра (§ 2, часть IV Правил).
 - амплитуда качки для судна без бортовых килей:

$$\theta r_1 = x_1 x_2 y$$

 x_1, x_2 — безразмерные множители, принимаемые в соответствии с табл. 2.1.3.1-2.1.3.1-3 части IV Правил.

y – множитель (градусы) принимается в соответствии с табл. 2.1.3.1 - 1.

Если судно имеет бортовые кили (как правило, все транспортные суда имеют бортовые кили), то расчетная амплитуда качки вычисляется по формуле:

$$\theta r_2 = K \cdot \theta r$$
,

где значение коэффициента К принимается в соответствии с табл. 2.1.3.2 в зависимости от отношения $\frac{S_{\kappa}}{LBV}$ в %, в котором:

 $S_{_{\nu}}$ — суммарная площадь бортовых килей;

$$S_{\kappa} = \sum a_{\kappa} \cdot l_{\kappa}$$
.

При отсутствии точных данных длина скулового киля l_{κ} к может быть принята равной (0,4-0,6), а высота a_{κ} определяется по чертежу мидель-штангоута.

Для транспортных судов обычно $S_{\kappa} = (0.02 \div 0.03) BL$, т.е. в отношении:

$$\frac{S_{\kappa}}{LB} = 2 \div 3\%.$$

Рассчитанное значение амплитуды бортовой качки округляется до целых градусов.

3) Определяется минимальный опрокидывающий момент – $M_{\text{onp.}}$

Рекомендуется определять $M_{\text{опр}}$ по диаграмме динамической остойчивости по схеме, изложенной в Приложении 2 части Правил.

Поскольку на диаграмме по оси ординат отложены величины плеч, то определяется плечо опрокидывающего момента l_{onp} , а затем находится:

$$M_{onn} = D_1 \cdot l_{onn}$$
.

4) Рассчитывается значение критерия погоды:

$$K = \frac{M_{onp}}{M_{\kappa p}}.$$

Остойчивость судна считается достаточной, если

а) критерий погоды

$$K = \frac{M_{onp}}{M_{rn}} \ge 1.$$

б) максимальное плечо диаграммы статической остойчивости:

$$l_{\text{max}} \ge 0.2$$
,

в) угол максимума диаграммы статической остойчивости

$$\theta_{\rm max} \ge 30^{\circ}$$
,

г) угол заката диаграммы статической остойчивости:

$$n > 0^{\circ}$$
.

Изменение осадок оконечностей ΔT_{κ} и ΔT_{μ} от приема 100 т груза определяется по формулам:

$$\Delta T_{\scriptscriptstyle H} = \frac{100}{q} + \frac{100(x - x_{\scriptscriptstyle f})}{\overline{M}l} \left(\frac{L}{2} + x_{\scriptscriptstyle f}\right),$$

$$\Delta T_{\scriptscriptstyle K} = \frac{100}{q} + \frac{100(x - x_{\scriptscriptstyle f})}{\overline{M}l} \left(\frac{L}{2} + x_{\scriptscriptstyle f}\right) \text{cm}.$$

 \overline{M} – момент дифферентующий судно на 1 см.

Расчеты выполняются в следующей последовательности:

1) Для осадки судна перед погрузкой записываются исходные данные:

 \overline{M}_0 — момент дифферентующий судна на 1 см для $T_{\rm cp.}$ о перед погрузкой.

 q_0 — число тонн на 1 см осадки;

 x_{p_0} — абсцисса Ц.Т. площади ватерлинии;

Рассчитываются значения $\Delta T_{\text{онн}}$ и $\Delta T_{\text{кн}}$ при приеме P100 т на носовой перпендикуляр:

$$\Delta T_{onn} = \frac{100}{q_0} + \frac{100}{\overline{M}_0 L} \left(\frac{L}{2} - x_{f_0}\right)^2,$$

$$\Delta T_{okk} = \frac{100}{q_0} - \frac{100}{\overline{M} L} \left[\left(\frac{L}{2}\right)^2 + x_f^2\right].$$

Рассчитываются значения $\Delta T_{\text{онк}}$ и $\Delta T_{\text{окн}}$ при приеме Р 100 т на кормовой перпендиикуляр:

$$\Delta T_{OHH} = \Delta T_{OKK}$$
,

$$\Delta T_{\scriptscriptstyle OKH} = \frac{100}{q} + \frac{100}{\overline{M}_{\scriptscriptstyle 0}L} \bigg(\frac{L}{2} + x_{\scriptscriptstyle f} \, \bigg)^2 \, . \label{eq:deltaTokh}$$

2) для осадок судна после погрузки записываются исходные данные:

 \overline{M}_1 — момент дифферентующий судна на 1 см для T_{cp_1} после погрузки;

 q_1 — число тонн на 1 см осадки;

 x_{f_1} — абсцисса Ц.Т. площади ватерлинии в грузу;

Рассчитываются значения: $\Delta T_{1\text{нн}}$ и $\Delta T_{1\text{кн}}$

$$\Delta T_{1_{HH}} = \frac{100}{q_1} + \frac{100}{\overline{M}_1 L} \left(\frac{L}{2} - x_{f_1}\right)^2,$$

$$\Delta T_{1_{HK}} = \frac{100}{q_1} - \frac{100}{\overline{M}_1 L} \left(\frac{L^2}{2} - x_{f_1}^2\right).$$

Рассчитываются значения: $\Delta T_{1 \text{нк}}$ и $\Delta T_{1 \text{кн}}$

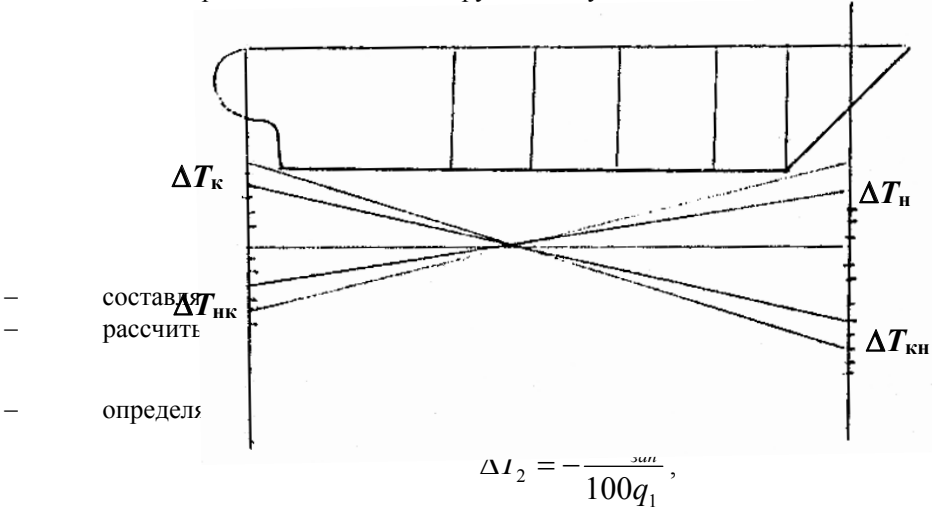
$$\Delta T_{1\text{kh}} = \Delta T_{1\text{kh}},$$

$$\Delta T_{1\text{kh}} = \frac{100}{q} + \frac{100}{\overline{M}L} \left(\frac{L}{2} + x_f\right)^2.$$

По полученным значениям строит график осадок оконечностей от приема 100 т груза:

К концу рейса расходуется 90% и более запасов, что вызывает изменение посадки и остойчивости.

Израсходованные запасы рассматривают как снятый малый груз и поэтому изменение посадки рассчитывается по схеме расходования малого груза в следующей последовательности;



– определяется T_{cp_2} к концу рейса:

$$T_{cp_2} = T_{cp_1} - \Delta T_2 \,,$$

рассчитывается поперечная метацентрическая высота:

$$h_2 = h_1 + \frac{-\sum P_3}{D_2} \left(T_1 + \frac{\Delta T_2}{2} - h_1 - z_3 \right).$$

Таблица израсходованных запасов

Таблица 4

NoNo	Запасы и их расположение	Масса израсходованных	Плечи		Моменты	
		запасов	x	z	M_{x}	M_z
1.	Топливо					
	Масло					
	Пресная вода					
Всего израсходовано		$\sum P_i$	<i>X</i> 3	z_3	$\sum M_x$	$\sum M_z$

рассчитывается продольная метацентрическая высота:

$$H_2 = H_1 + \frac{-\sum P_3}{D_2} \left(T_1 + \frac{\Delta T_2}{2} - H_1 - Z_3 \right),$$

рассчитывается угол дифферента от расхода топлива:

$$tg\Psi_2 = \frac{-P(x - x_f)}{D_2 \cdot H_2}.$$

определяется осадка носом и кормой:

$$T_{n_2} = T_{n_1} + \Delta T_n + \left(\frac{L}{2} - x_{f_1}\right) t g \psi_2,$$

$$T_{\kappa_2} = T_{\kappa_1} + \Delta T_2 - \left(\frac{L}{2} - x_{f_1}\right) t g \psi_2$$

определяется дифферент:

$$d = T_{\scriptscriptstyle H_2} - T_{\scriptscriptstyle K_2} \,,$$

— определяется осадка T_{κ_2} и T_{μ_2} с помощью графика изменения осадок оконечностей от приема 100 т груза:

$$T_{H_2} = T_{H_1} + 0.01\Delta T_H \frac{-\sum P_3}{100}; \quad T_{\kappa_2} = T_{\kappa_1} + 0.01T_{\kappa} \frac{-\sum P_3}{100}.$$

 $T_{_{\!\it H}}$ и $T_{_{\!\it K}}$ определяется по графику изменения осадки носом и кормой при приеме 100 т груза в точку с абсциссой, равной $x_{_3}$.

Расчет диаграмм статической и динамической остойчивости к концу рейса удобно производить в табличной форме – табл. 5.

Таблина 5

						1	аолица э	
NoNo 	Расчетные величины		Расчет					
ПП								
1.	θ	0	10	20	30	40	50	
2.	$\sin \theta$							
3.	<i>l</i> из табл. 6 5 л. строка							
4.	$K_1 l - K_1 \tag{3}$							
5.	$K_2 \sin \theta - K_2 (2)$							
6.	$l_1 = K_1 l - K_2 \sin \theta \ (4)-(5)$		→	<u> </u>	── ▲			
7.	$\sum l_1$							
8.	$ld_1 = \frac{\Delta\theta}{2} \sum l$,	V				

По полученным значениям строится диаграмма статической и динамической остойчивости к концу рейса. Плечо статической остойчивости после приема група вычисляется по формуле:

$$l_1 = l + \frac{\sum P_i}{D_2} \left[\left(T_1 + \frac{\Delta T_2}{2} - z \right) \sin \theta - l \right].$$

При снятии груза (расходование запасов) $\sum P_i$ и T_2 принимаются со знаком "—", тогда будет равно:

$$l_1 = l - \frac{\sum P_i}{D_2} \left[\left(T_1 + \frac{\Delta T_2}{2} - z \right) \sin \theta - l \right] = K_1 l - K_2 \sin \theta ,$$

 K_1 и K_2 – численные значения, получаемые после преобразования уравнения для плеча:

$$K_1 = \left(1 + \frac{\sum P_i}{D_2}\right); \quad K_2 = \frac{\sum P_i}{D_2}\left(T_1 - \frac{\Delta T_2}{2} - z\right).$$

Проверка остойчивости к концу рейса:

кренящий момент от действия ветра:

$$M_{\kappa p_1} = 0.001 \cdot P_{\nu} \cdot S_{n_1} \cdot Z_{n_2}$$

 P_{v} – удельное давление ветра:

$$\begin{split} S_{n_2} &= S_n - \Delta T_2 L \,; \\ \Delta T_2 &= T_{cp_2} - T_{cp_1} Z_{n_1}^3 = \frac{S_n (Z_n - \Delta T_2) + 0.5 (\Delta T_3)^2 L}{S_{n_2}} \,, \end{split}$$

 $M_{\it onp_1}$ — минимальный опрокидывающий момент определяется по диаграмме динамической остойчивости, перестроенной с учетом расхода запасов.

$$K_{0}$$
 — критерий погоды, $K=rac{M_{\it onp}}{M_{\it KD}}$.

ЗАКЛЮЧЕНИЕ

На основе проведенных исследований выявлены необходимые зависимости для расчета влияния свободной поверхности на начальную остойчивость судна.

Литература

- 1. Афонин З.М. и др. Теория и устройство судов. М.-Л., Транспорт, 1985, 372 с.
- 2. Бекенский Б.В. Практические расчеты мореходных качеств судна. М., Транспорт, 1974, 264с.
- 3. Мельник В.Н., Сизов В.Г., Степанов В.В. Эксплуатационные расчеты мореходных качеств судна. М. ЦРИА, МОРФЛОТ, 1979.
 - 4. Правила классификации и постройки морских судов. Л., Транспорт, 1981.